

سنتز هیبرید نانوگل‌های MoS_2 و گرافن کاهش یافته توسط امواج مایکروویو به عنوان

کاتالیست مؤثر در واکنش گاز هیدروژن

الله‌یار، سهیل^۱; طاهری، میلاد^۲; موہبیت، رضیه^۲

^۱ گروه فیزیک، دانشگاه دامغان، دامغان

^۲ گروه شیمی، دانشگاه آزاد اسلامی واحد یزد، یزد

چکیده

در این مقاله، یک ساختار هیبرید از نانوگل‌های (RGO) MoS_2 بر روی گرافن کاهش یافته (NFs) سنتز شده است به عنوان یک کاتالیست HER سازگار با محیط، که یک روش کارآمد برای تولید انسیو نیز می‌باشد. نانوگل‌های کوچک MoS_2 با قطری حدود ۱۹۰ نانومتر و فراوانی از لبه‌های در معرض دید از طریق روش هیدروترمال تهیه شده است و متعاقباً روی RGO که توسط روش مایکروویو سنتز شده، حمایت می‌شود. نتایج نشان می‌دهد نانوگل‌های MoS_2 بر روی GO که به خوبی کاهش یافته است به طور یکنواخت توزیع یافته و ویژگی‌های برجسته‌ی ساختار اصلی به طور کامل حفظ شده است. تست‌های الکتروشیمیایی نشان می‌دهد که ساختار هیبریدی تهیه شده، فعالیت بسیار عالی از HER را با شیب تافل ۱۰ میلی ولت بر دهد (۱۰ چرخه) و یک اضافه و تاثر کم ۱۷۰ میلی ولتی به نمایش گذاشته است.

synthesis of MoS_2 Nanoflowers and Reduced Graphene Oxide Hybrids by Microwave irradiation as highly efficient hydrogen evolution reaction catalysts

Allahyar, Soheil¹; Taheri, Milad²; Mohebat, Razieh²

¹ Department of Physics, University of Damghan, Damghan

² Department of Chemistry, Islamic Azad University, Yazd Branch, Yazd

Abstract

In this paper, a hybrid material of MoS_2 nanoflowers (NFs) on reduced graphene oxide (RGO) was synthesized as a HER catalyst via an environmentally friendly, efficient approach that is also suitable for mass production. Small-sized MoS_2 NFs with a diameter of ca. 190 nm and an abundance of exposed edges were prepared by a hydrothermal method and were subsequently supported on RGO by microwave assisted synthesis. The results show that MoS_2 NFs were distributed uniformly on the remarkably reduced GO and preserved the outstanding original structural features perfectly. Electrochemical tests show that the as-prepared hybrid material exhibited excellent HER activity, with a small Tafel slope of 80 mV/decade and a low overpotential of 170 Mv.

PACS No. 81

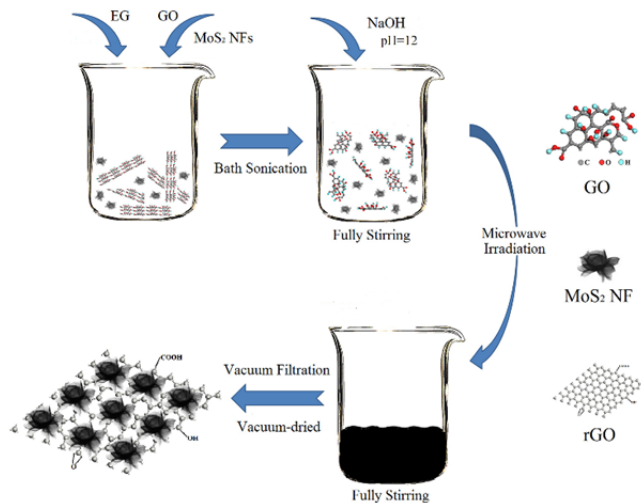
عمده‌ای از تحقیقات الکتروشیمیایی را به خود معطوف داشته،

مقدمه

بسیار حائز اهمیت می‌باشد. هیدروژن موجود در طبیعت به فرم ترکیبی است و باید با استفاده از روش‌های مختلف گاز هیدروژن آزادسازی گردد. در حال حاضر از بهترین کاتالیست‌ها برای انجام واکنش آزادسازی گاز هیدروژن (HER)، پلاتین و یا آلیاژ‌هایی از پلاتین می‌باشد، ولی اغلب محدودیت در فراهم ساختن پلاتین (از جمله گرانقیمت بودن آن)، محدودیت‌هایی در کاربرد آن ایجاد

هیدروژن فراوان‌ترین عنصر موجود در طبیعت است و به دلیل داشتن ویژگی‌هایی چون تجدیدپذیری، قابلیت ذخیره شدن، امکان حمل و نقل و نیز غیرآلاینده بودن، جایگزین مناسبی برای سوخت‌های فسیلی که زوال‌پذیر و مخرب زیست محیط می‌باشند، محسوب می‌شود. کاربرد هیدروژن در پیل‌های سوختی که بخش

پرتوهای مایکروویو با توان ۹۰۰ وات، با زمان پرتودهی ۳۰ ثانیه قرار گرفت.



شکل ۱: فرآیند تشکیل هیبرید نانوگل‌های سولفید مولیبدن و اکسید گرافن (MoS₂ NFs/RGO) کاهش یافته

سپس محلول واکنش تا دمای محیط خنک، فیلتر و رسوب در دمای ۶۰ درجه سانتی گراد خشک شد.

نتایج و بحث ویژگی‌های ساختاری

شکل ۲ مورفولوژی و جزئیات اندازه نانوگل‌های MoS₂ خالص تهییه شده توسط روش هیدروترمال، هیبرید MoS₂/RGO تهییه شده به روش مایکروویو نشان می‌دهد. همانظور که مشاهده می‌شود ورقهای MoS₂ روی هم تجمع کرده و ساختار گل شکل با اندازه ۱۹۰ نانومتر تشکیل شده اند؛ که طبق تصویر فاصله لایه ها ۰/۶۳ نانومتر و ضخامت هر لایه (گلبرگ) ۷/۰۴ نانومتر است. فاصله کم و نازکی لایه‌ها باعث شکستن شدن لایه‌ها در انرژی‌های پایین و تشکیل ساختار گل شکل جدید و مستقل از ساختار اول می‌شود [۲]. بنابراین برای ساختار هیبریدی پراکندگی خوبی از نانوگل‌های MoS₂ بر روی RGO به عنوان یک پایه محکم بدست آمد. علاوه بر این توزیع سایز نانوگل‌ها بر روی RGO بسیار یکنواخت است و نشان می‌دهد امواج مایکروویو تاثیری بر اندازه نانوگل‌ها نداشته و فقط باعث تبدیل GO به RGO در حضور اتیلن گیلیکول شده است که در آنالیزهای بعدی مشهود است.

می‌کند. بنابراین تحقیقات وسیعی به توسعه‌ی الکتروکاتالیست‌ها و افزایش فعالیت آنها و کاهش مقدار مصرفی پلاتین، اختصاص داده شده است [۱].

در این مقاله هیبریدهای MoS₂/RGO به روش ساده و ارزان مایکروویو سنتز شده‌اند و با تهییه الکتروود از آن فعالیت الکتروکاتالیستی خوبی را برای انجام فرآیند HER از خود نشان دادند. الکترودهای ساخته شده پایداری نسبتاً خوبی در زمان کارکرد طولانی مدت در دمای اتاق از خود نشان دادند..

فعالیت تجربی

فرآیند آماده سازی اکسید گرافن کاهش یافته (rGO)
ابتدا از پودر گرافیت، گرافن به روش هامر اصلاح شده تهییه شد (GO).

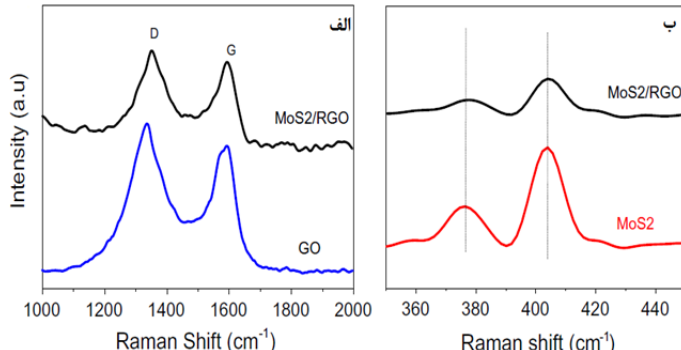
فرآیند آماده سازی نانوگل‌های سولفید مولیبدن (NFs)

در یک بالن سه دهانه، ۱۰۰ میلی‌لیتر آب یونزدایی شده، افزوده شد و با یک سامانه گرمکن مجهز به تنظیم کننده گرما، همراه با همزن تا ۷۰ درجه سانتی گراد به مدت ده دقیقه گرما داده شد. سپس ۱۰ میلی‌مول ($\frac{2}{4}$ گرم) سدیم مولیبدات به آن افزوده و پس از انحلال کامل، ۲۰ میلی‌مول ($\frac{3}{4}$ گرم) سدیم سولفید حل شده در آب یونزدایی شده افزوده شده و واکنش به مدت سه ساعت ادامه یافت. مخلوط واکنش تا دمای ۶۵ درجه سانتی گراد سرد و با استفاده از کلریدریک اسید اسیدیته محلول کنترل شد (PH) در گستره ۶ تا $\frac{7}{5}$ ، سپس مخلوط واکنش تا دمای محیط خنک، پودرهای جمع‌آوری شده توسط سانتریفیوژ با آب یونزدایی و اتانول شده شسته و در دمای ۴۵ درجه سانتی گراد خشک شد.

فرآیند آماده سازی هیبرید نانوگل‌های سولفید مولیبدن و اکسید گرافن کاهش یافته (MoS₂ NFs/RGO)

شکل ۱ فرآیند انجام واکنش را نشان می‌دهد. مقدار ۰/۰۲ گرم پودر اکسید گرافن و ۰/۰۳ گرم پودر نانوگل سولفید مولیبدن در ۷۰ میلی‌لیتر اتیلن گیلیکول (عامل کاهشی) به مدت ۹۰ دقیقه سونیکیت شد. سپس محلول ۱ مولار NaOH به صورت قطره‌ای اضافه شد تا محلول به PH=۱۲ رسید. محلول نهایی در معرض

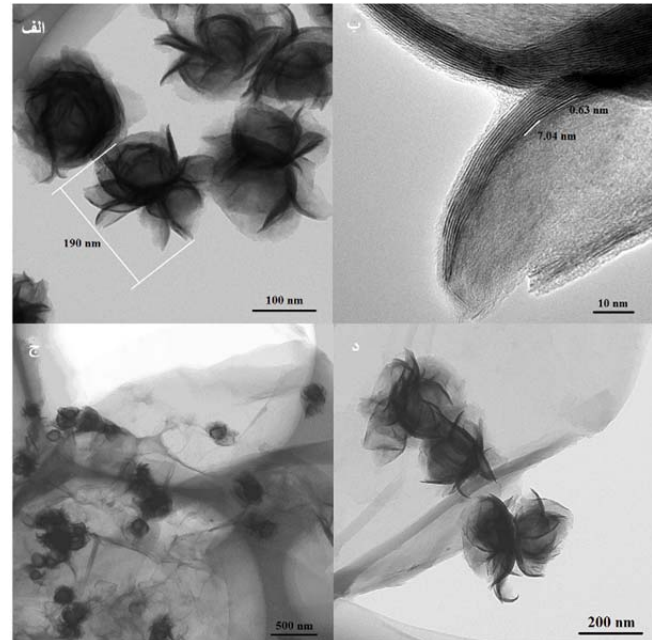
همچنین در الگوی ساختار هیبرید جابه‌جایی قله‌ها به سمت چپ نیز دیده می‌شود، که می‌تواند به واکنش بین MoS_2 و گروه‌های عاملی حاوی اکسیژن روی گرافن نسبت داده شود.



شکل ۴: نتایج رامان برای نمونه‌های MoS_2 خالص و هیبرید MoS_2/RGO

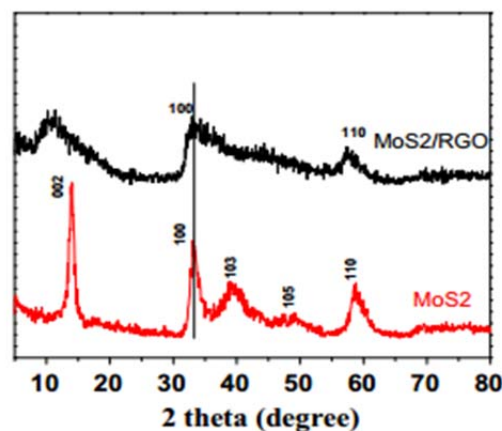
در طول فرایند مایکروویو؛ GO به RGO کاهش می‌یابد و بعضی از پیوندهای اکسیژنی در بین نانوپرگ‌های (لایه‌های) MoS_2 گنجانده شده‌اند. بنابراین انتظار می‌رود نانوهیبریدهای MoS_2/RGO دارای تراکم الکترون موثر متعلق به خواص گرافن و خاصیت فوتوالکتریک از نقش‌های مهم نانوگل‌های لایه لایه ای MoS_2 باشند.

در شکل ۴ که MoS_2 , GO خالص و ترکیب MoS_2/RGO به وسیله‌ی طیف‌سنجی رامان مشخصه یابی شده‌اند؛ قله‌های مشخصه MoS_2 و گرافن معلوم شده‌اند. همانطور که در شکل ۴-الف مشخص است، هم GO و هم MoS_2/RGO دو قله رامان غالب در 1349cm^{-1} و 1578cm^{-1} نمایش می‌دهند که به خوبی با باند- $I_{\text{D}}/I_{\text{G}}$ و G گرافن تطبیق دارند. مقدار نسبت شدت‌های MoS_2/RGO برای هیبرید بسیار کوچکتر از همین نسبت برای GO است، که نشان از ترمیم شدن قسمت اندکی از پیوستگی نامنظم π در طول فرآیند هیبریداسیون دارد. طیف رامان شکل ۴-ب در محدوده‌ی پر اطلاعات 350 cm^{-1} تا 450 cm^{-1} ، برای قله‌های مشخصه MoS_2 مربوط می‌شود.^[۴] دو قله‌ی غالب MoS_2 خالص در $376/7$ و $403/6\text{ cm}^{-1}$ به ترتیب با A_{2g}^1 و E_{2g}^1 ، مدهای ارتعاشی MoS_2 هگزاگونال مربوط می‌شوند.^[۴-۵]



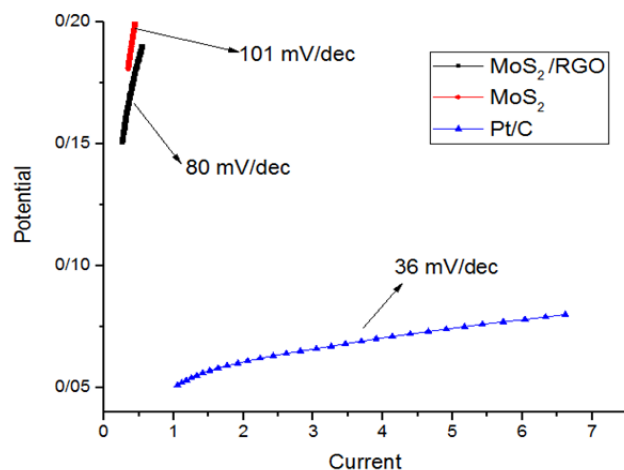
شکل ۲: تصاویر TEM: (الف) نانوگل‌های MoS_2 خالص. (ب) جزئیات لایه‌های MoS_2/RGO خالص. (ج و د) هیبرید MoS_2

شکل ۳ الگوی XRD نمونه‌های MoS_2 خالص و هیبرید MoS_2/RGO را نشان می‌دهد. تمام قله‌های MoS_2 خالص با فاز بلوری هگزاگونال مطابق با کارت (JCPDS 37-14920) است. قله‌های متناظر با صفحه‌های (002) , (100) و (100) نانوگل‌های MoS_2 ویژگی انباستگی لایه‌ها را مشخص می‌کنند. نکته قابل توجه، کاهش شدید قله‌های مربوط به این صفحات در الگوی XRD مربوط به هیبرید MoS_2/RGO است. این تغییر به دلیل توقف انباستگی بین لایه‌های مجاور MoS_2 در حضور لایه‌های گرافنی اتفاق افتاده است.^[۳]



شکل ۳: نتایج XRD برای نمونه‌های MoS_2 خالص و هیبرید MoS_2/RGO

در انجام واکنش آزادسازی گاز هیدروژن توسط MoS_2/RGO نسبت به آنهایی که به وسیله MoS_2 تولید شده‌اند بزرگتر هستند. بنابراین عملکرد کاتالیزوری MoS_2 در واکنش آزادسازی هیدروژن به‌طور موثری از طریق RGO (که به کمک مایکروویو هیبرید شده‌اند) بهبود یافته است.



شکل ۵ منحنی‌های تافل در فرآیند کاتالیزوری

نتیجه گیری

روش مایکروویو روشنی موثر برای ساختار هیبریدی MoS_2/RGO است. فرآیند الکتروکاتالیستی MOS_2 توسط RGO برای آزادسازی هیدروژن بهبود یافته و جایگزین مناسبی برای فلز گران‌قیمت پلاتین است.

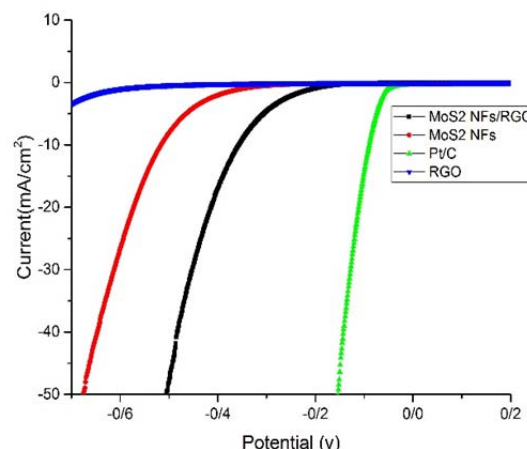
مرجع‌ها

- [۱] Tributsch, H.; Bennett, J. C. *J. Electroanal. Chem.* 1977, **81**, 97.
- [۲] Wang, H.; Casalongue, H. S.; Liang, Y. Y.; Dai, H. J. *J. Am. Chem. Soc.* 2010, **132**, 7472.
- [۳] Liang, Y. Y.; Wang, H. L.; Casalongue, H. S.; Chen, Z.; Dai, H. J. *Nano Res.* 2010, **3**, 701.
- [۴] Nielsen, J. H.; Bech, L.; Nielsen, K.; Tison, Y.; Jorgensen, K. P.; Bonde, J. L.; Horch, S.; Jaramillo, T. F.; Chorkendorff, I. *Surf. Sci.* 2009, **603**, 1182.
- [۵] Wang, H.; Robinson, J. T.; Diankov, G.; Dai, H. J. *J. Am. Chem. Soc.* 2010, **132**, 3270.
- [۶] Chen, Z.; Kibsgaard, J.; Jaramillo, T. F. *Proc. SPIE* 2010, **7770**, 7770K/1
- [۷] Chen, J. M.; Wang, C. S. *Solid State Commun.* 1974, **14**, 857

ظاهرا، قله رامان A^1_g از هیبرید MoS_2/RGO در مقایسه با MoS_2 کاهش می‌یابد که یک برهم‌کنش میان مولیبدم و گرافن که می‌تواند به طور قابل توجهی از تجمع لایه‌های MoS_2 جلوگیری کند را نشان می‌دهد [۶]. به عبارت دیگر نانوورق‌های MoS_2 با لبه منقطع به صورت تک لایه یا چندلایه درین لایه‌های گرافن تشکیل شده‌اند که به خوبی با نتایج حاصل از TEM در شکل ۲ مطابقت دارد.

بررسی فرآیند کاتالیزوری آزادسازی هیدروژن

در شکل ۴ فعالیت‌های فوتوكاتالیستی HER برای هیبرید MoS_2/RGO توسط منحنی‌های قطبش مورد بررسی قرار گرفته‌اند. همان‌طور که در شکل نشان داده شده است، یک کاتالیزور



همبسته‌ی Pt/C برای مقایسه نیز گنجانده شده است. کاتالیزور Pt/C عملکرد کاتالیستی HER در یک اضافه ولتاژ نزدیک به صفر از خود نشان می‌دهد.

شکل ۴: منحنی‌های قطبش در فرآیند کاتالیزوری هیبرید MoS_2/RGO آمده شده، اضافه ولتاژ کمی در حدود ۱۷۰ میلی‌ولت می‌دهد. دریک مقایسه دقیق‌تر، MoS_2 یا RGO به تنهایی فعالیت HER کمی از خود به نمایش می‌گذارند. در شکل ۵ قسمت خطی تافل با معادله‌ی تافل متناسب شده است [۷] (که در آن $j = \text{blg } j + a$ (که در آن j شدت جریان، b شیب تافل است). بازده شیب تافل برای MoS_2/RGO و MoS_2 به ترتیب 101 , 80 و 36 میلی‌ولت بر دهه (ده چرخه) می‌باشد. برای توضیح بیشتر، بعد از یک چرخه حباب‌های تولید شده